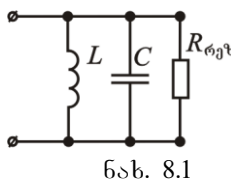


## თავი II. ძეგლის მიზანი და მიზანი სისტემის განვითარება

რადიოტექნიკური მისი ჩამოყალიბების პირველივე ნაბიჯები-დან უართო გამოყენება პპოვა სასარგებლო სიგნალების გამოყოფამ სისტემულად-გამორჩევადი სისტემების დახმარებით. ასეთი წრედები გამოსავლელზე ატარებენ მხოლოდ იმ სისტერიან რევენტს, რომლებიც მოთავსებულია შედარებით ვიწრო ზოლში რაიმე ცენტრალური სისტემის გარშემო. სასარგებლო სიგნალის სისტემული ფილტრაცია განსაკუთრებით ეფექტურია იმ შემთხვევაში, თუ დასამუშავებული სიგნალი საკმარისი ხარისხით ვიწროზოლოვანია. ვიწროსის შირული სიგნალების მაგალითებს წარმოადგენენ სხვადასხვაგვარი მოდულირებული რევენტი, რომლებიც განხილულია სახელმძღვანელო ”ელექტრული სიგნალები”, თავი 4 -ში.

### თემა 8. სისტემულად-გამორჩევადი ჭრების ზოგიერთი მოდელები

უმარტივეს ზოლოვან ფილტრს წარმოადგენს რევითი კონტური, რომელიც შექმნილია  $L$ ,  $C$  და  $R$  ელემენტებით. (ნახ.8.1-ზე მოყვანილია პარალელური რევითი კონტურის ეკვივალენტური სქემა).



წრედების თეორიაში დაწვრილებით შეი-სწავლება მომდევრობითი და პარალელური კონტურები [3]. დაწვრილებითი გამოთვლების გარეშე გავიხსენოთ ძირითადი დებულებები, რომლებითაც ვიხელმძღვანელებთ შემდგომში.

#### 8.1. პარალელური რევითი კონტურის სისტემული მახასიათებლები

$$\text{რეზონანსული სისტემის } \omega_{\text{რეზ}} = \frac{1}{\sqrt{LC}} \text{ მიდამოებში მოცემული}$$

რევითი სისტემა შეიძლება აღწერილი იყოს ექვივალენტური სქემით, რომელიც შედგება  $L$ ,  $C$  ელემენტებისა და აქტიური რეზონანსული წინაღობის

$$R_{\text{რეზ}} = \rho Q \quad (2.1)$$

პარალელური შეერთებისაგან, სადაც  $\rho = \sqrt{\frac{L}{C}}$  -კონტურის მახა-

სიათებელი წინაღობაა,  $Q$  – რევითი სისტემის ვარგისიანობა.

**თავი II. დეტარმინირებული სიზნალების ზემოქმედება  
სიხშირულად-გამოწმებად სისტემებზე**

---

კონტრის თვისებები განისაზღვრება მისი შესასვლელი წინადობის დამოკიდებულებით სიხშირეზე. არგუმენტის სახით მოსახერხებელია გამოვიყენოთ უგანზომილებო განხოვადებული აშლა

$$\xi = Q \left( \frac{\omega}{\omega_{\text{რე}}^{\text{b}}} - \frac{\omega_{\text{რე}}^{\text{b}}}{\omega} \right). \quad (2.2)$$

$$\text{ამასთან } \text{შესასვლელი } \text{წინადობა} \quad Z(j\xi) = \frac{R_{\text{რე}}^{\text{b}}}{(1 + j\xi)}. \quad (2.3)$$

თუ  $Q \gg 1$ , მაშინ ვიწრო ზოლში რეზონანსული სიხშირის სიახლოეს განზოგადებული აშლის გამოსათვლელად უნდა ვისარგებლოთ მიახლოებითი ფორმულით:

$$\xi \approx \frac{2Q(\omega - \omega_{\text{რე}}^{\text{b}})}{\omega_{\text{რე}}^{\text{b}}} = \frac{2Q(f - f_{\text{რე}}^{\text{b}})}{f_{\text{რე}}^{\text{b}}}. \quad (2.4)$$

პარალელური რხევითი კონტრის **ასე** გამოისახება ეგრეთ-წოდებული რეზონანსული მრულით. თუ ვარგისიანობა საკმაოდ მაღალია, მაშინ რეზონანსული მრული პრაქტიკულად სიმეტრიულია  $\omega_{\text{რე}}^{\text{b}}$  სიხშირის მიმართ. რეზონანსული მრულის განტოლება

$$\text{დება} \quad |Z(j\omega)| = \frac{R_{\text{რე}}^{\text{b}}}{\sqrt{1 + 4Q^2(\omega - \omega_{\text{რე}}^{\text{b}})^2 / \omega_{\text{რე}}^{b2}}}. \quad (2.5)$$

სიხშირეთა დერძზე (პ. ინტერვალს წერტილებს შორის, რომლებშიც  $|Z|$  მცირდება  $R_{\text{რე}}^{\text{b}}$  მნიშვნელობიდან  $\frac{R_{\text{რე}}^{\text{b}}}{\sqrt{2}} = 0,707 R_{\text{რე}}^{\text{b}}$ ) მნიშვნელობამდე, ეწოდება **კონტრის გატარების ზოლი:**

$$\Delta_{0.707} = \frac{f_{\text{რე}}^{\text{b}}}{Q}. \quad (2.6)$$

განასხვავებენ გატარების ზოლის აბსოლუტურ და ფარდობით მნიშვნელობებს  $S_{\text{o}} = f_2 - f_1 = \frac{f_{\text{o}}}{Q}$  და  $S_{\text{g}} = \frac{S_{\text{o}}}{f_{\text{o}}} = \frac{1}{Q}$ .

რეზონანსული სიხშირის მიმართ პარალელური კონტრის წინადობის მოდულის აშლისას მკვეთრი დაცემა საშუალებას გვაძლევს გამოვიყენოთ ეს წრედი სიგნალების სიხშირული ფილტრაციისათვის.

**მაგალითი 2.1.** პარალელური რეგიონი კონტური პარამეტრებით  $Q = 125$ ,  $L = 6$  მმ<sup>3</sup> აწყობილია სიხშირეზე  $f_{\text{რე}} = 8$  მჰც. კონტური აიგ ზეგავის პარმონიული დენის წყაროს; გამოხასელები სივნალს წარმოადგენს ძაბვა კონტურზე. განხსახვავრევთ, რამდენჯერ იქნება შეცემაზე დენიული სივნალი 8.1 მჰც სიხშირეზე რეზონანსულ სიხშირეზე სივნალთან შედარებით.

**მოხსნა:** მოთხოვთ რეზონანსულ სიხშირეზე ასაწყობად აუცილებელია გამოვიყენოთ კონდენსატორი ტეპადობით  $C = \frac{1}{4\pi^2 L f_{\text{რე}}^2} = 66\text{pF}$ .

$$\text{კონტურის რეზონანსული სიხშირე } R_{\text{რე}} = \sqrt{\frac{L}{C}} Q = 37.69 \approx 38 \text{ ჟომ.}$$

(2.4) ფორმულის მიხედვით განხოვადებული აულა 8.1 მჰც სიხშირეზე,

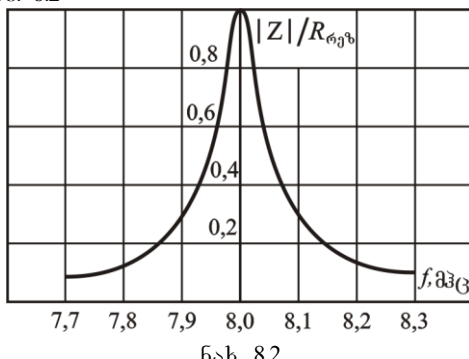
$$\xi \approx \frac{2Q\Delta f}{f_{\text{რე}}} = 3.125.$$

გამოხასელები სივნალის ამპლიტუდა განსახილებულ წრედაში კონტურის შესახლები წინაღობის მოდულის პროპორციულია.

$$\text{რადგან} \quad \frac{|Z|}{R_{\text{რე}}} = \frac{1}{\sqrt{1+\xi^2}},$$

ზემოთ ნამოვნო  $\xi$  მნიშვნელობის ჩასმით კრწეულდებით, რომ ამ სივნალის ამპლიტუდა 8.1 მჰც სიხშირეზე შეადგენს რეზონანსულ სიხშირეზე ამპლიტუდის 0.305. ამ ციფრს შეესაბამება უარყოფითი გაძლიერება (შეცემაზე)  $20\lg 0.305 = -10.3$  დბ.

მოცემული სიხშემის ამპლიტუდურ-სიხშირული მახასიათებელი გამოხასელია ნახ. 8.2



ნახ. 8.2

მოყვანილი მრედი შეესაბამება პარალელური რეგიონი კონტურის ასე-ს პარამეტრებით  $Q = 125$ ,  $L = 6$  მმ<sup>3</sup>,  $C = 66\text{pF}$ .

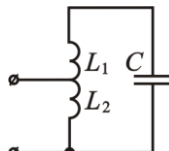
**თავი II. დეტარმინირებული სიზნალების ზემოქმედება  
სისტემულად-გამორჩევად სისტემებზე**

---

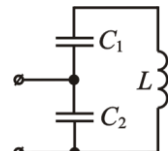
განხილული რხევითი კონტური წარმოადგენს კონტროლორგან სისტემად-გამორჩევად სისტემას, გინაიდან გატარების ზოლის შეფარდება რეზონანსულ ხილშემოქმედან

$$\frac{\Delta_{0.707}}{f_{\text{რე}}}= \frac{1}{Q} << 1$$

ხშირად იყენებენ პარალელურ რხევით კონტურებს არასრული ჩართვით. გარე წრედები შეიძლება ჩაირთოს ან ინდუქციურ (იხ. ნახ. 8.3), ან ტევადურ (იხ. ნახ. 8.4) ელემენტებთან გამყოფის შეუაწერტილიდან გამომყვანით, შესაბამისად. ასეთი



ნახ. 8.3



ნახ. 8.4

კონტურის შესასვლელი წინაღობა გამოითვლება ფორმულით (2.3), რომელშიც საჭიროა ჩავსვათ რეზონანსული წინაღობის სიდიდე  $R_{\text{რე}} = k_{\text{ჩარ}}^2 R Q$  სადაც  $-k_{\text{ჩარ}}$  კონტურის ჩართვის კოფიციენტია. მოყვანილი სქემებისათვის  $k_{\text{ჩარ}}$  გამოითვლება შესაბამისი ფორმულებით

$$k_{\text{ჩარ}} = \frac{L_2}{L_1 + L_2} \quad \text{და} \quad k_{\text{ჩარ}} = \frac{C_1}{C_1 + C_2}.$$

## 8.2 რხევითი კონტურის მახასიათებლის ნულ-პოლუსური წარმოდგენა

ოპერატორული მეთოდის ფარგლებში პარალელური დანაკარგებიანი რხევითი კონტურის დინამიკური თვისებები შეიძლება აღიწეროს მისი შესასვლელი გამტარობის

$$Y(p) = \frac{1}{R_{\text{რე}} + pC} + \frac{1}{pL} \quad \text{ან} \quad \text{შესასვლელი } \frac{1}{Y(p)} = \frac{1}{R_{\text{რე}} + \frac{1}{pC} + \frac{1}{pL}}.$$

$$Z(p) = \frac{1}{Y(p)} = \frac{\frac{p}{C}}{(p^2 + \frac{p}{R_{\text{რე}}C} + \frac{1}{LC})}. \quad (2.7)$$

$$\text{შევნიშნოთ, რომ } \frac{1}{\sqrt{LC}} = \omega_{\text{რენ.0}} \text{ არის დანაკარგების გარეშე}$$

$$\text{კონტურის რეზონანსული სიხშირე და } \frac{1}{R_{\text{რენ.}} C} = \frac{1}{\rho Q C} = \frac{1}{\sqrt{\frac{L}{C}} Q C} =$$

$$= \frac{\omega_{\text{რენ.0}}}{Q} \cdot \text{გადავწეროთ (2.7) გამოსახულება შემდეგნაირად:}$$

$$Z(p) = \frac{\frac{p}{C}}{(p^2 + \frac{\omega_{\text{რენ.0}}}{Q} p + \omega_{\text{რენ.0}}^2)}.$$

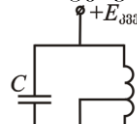
მოცემული ოპერატორული წინაღობას აქვს ერთადერთი ნული როცა  $p = 0$  და ორი კომპლექსურ-შეუდლებული პოლუსები წერტილებში კოორდინატებით (იხ. ნახ. 8.5)

$$p_{1,2} = \frac{\omega_{\text{რენ.0}}}{2Q} \pm j \sqrt{1 - \frac{1}{4Q^2}} \omega_{\text{რენ.0}}. \quad (2.8)$$

პოლუსები განლაგებულია მარცხნა ნახევარ ნახ. 8.5 სიბრტყეში (სისტემა მდგრადია) და მით უფრო ახლოსაა წარმოსახვით დერძთან, რაც მაღალია კონტურის გარგისიანობა. უკანასკნელი თვისება წარმოადგენს საერთოს სიხშირულად-გამორჩევადი სისტემებისათვის.

### 8.3. მცირე რხევების რეზონანსული გამაძლიერებელი

მოცემული ვიწროზოლოვანი სისტემა ითავსებს გამაძლიერებლის და წრფივი სიხშირული ფილტრის ფუნქციებს. მცირე რხევების რეზონანსული გამაძლიერებელის პრინციპიალური სქემა მოყვანილია (ნახ. 8.6):



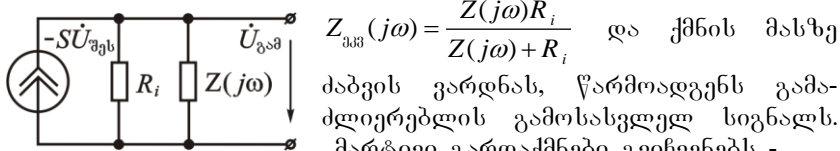
რეზისტორულ-ტევადური დატვირთვის მქონე გამაძლიერებლისგან (იხ. თავი 8) განსხვავება იმაში მდგომარეობს, რომ აქ ელექტრონული ხელსაწყოს დატვირთვად გამოდის პარალელური რხევითი კონტური; კონტურის ჩართვა ზოგად შემთხვევაში შეიძლება იყოს არასრული.

ჩანაცვლების ექვივალენტურ სქემასთან მიმართვით (ნახ. 8.7)

**თავი II. დეტარმინირებული სიზნალების ზემოქმედება  
სისტემულად-გამორჩევად სისტემებზე**

---

ვხედავთ, რომ დენი კომპლექსური ამპლიტუდით  $S\dot{U}_{\text{აშ}}^+$ , რომელიც მოდის მართველი წყაროდან, გადის წინაღობაში



ნახ. 8.7

$$Z_{\text{აშ}}(j\omega) = \frac{Z(j\omega)R_i}{Z(j\omega) + R_i} \quad \text{და} \quad \text{ქმნის მასზე} \\ \text{ძაბგის ვარდნას, წარმოადგენს გამა-} \\ \text{ძლიერებლის გამოსასვლელ სიგნალს.} \\ \text{მარტივი გარდაქმნები გვიჩვენებს -} \\ [\text{იხ. ფორმულა (2.3)}], \quad \text{რომ}$$

$$Z_{\text{აშ}}(j\xi) = \frac{R_{\text{რებ.აშ}}}{1 + j\xi_{\text{აშ}}} \quad (2.9). \quad \text{აქ} \quad R_{\text{რებ.აშ}} = \frac{R_{\text{რებ}}}{1 + \frac{R_{\text{რებ}}}{R_i}} \quad (2.10)$$

— გამაძლიერებლის კონტურის ექვივალენტური წინაღობაა რეზონანსის დროს წყაროს შიგა წინაღობის გათვალისწინებით;

$$\text{(ექვივალენტური განზოგადებული აშლა)} \quad \xi_{\text{აშ}} = \frac{Q}{R_{\text{რებ}}} \cdot \frac{1}{1 + \frac{R_{\text{რებ}}}{R_i}}. \quad (2.11)$$

(2.11) ფორმულის თანახმად ელექტრონული ხელსაწყოს რეგისტრირებული მაშვილის წერტილი წერტილის შესახუსტებებლად გამაძლიერებლის გატარების ზოლის გაფართოების გარეშე საჭიროა შევამციროთ რეზონანსული წინაღობა  $R_{\text{რებ}}$ , კონტურის არასრული ჩართვის გამოყენებით

შეიძლება ჩავთვალოთ, რომ შიგა წინაღობის გავლენა მდგრამარეობს იმაში, რომ რევეოთი სისტემის გარგისიანობა მცირდება და ტოლი ხდება ექვივალენტური ვარგისიანობის.

რამდენადაც გამაძლიერებლის გამოსასვლელზე კარმონიული სიგნალის კომპლექსური ამპლიტუდა

$$\dot{U}_{\text{აშ}} = -S Z_{\text{აშ}} \dot{U}_{\text{აშ}}, \quad \text{მოცემული} \quad \text{მოწყობილობის} \quad \text{გადაცემის}$$

$$\text{სისშირული} \quad \text{კოეფიციენტი} \quad \text{K}(j\xi_{\text{აშ}}) = \frac{-SR_{\text{რებ.აშ}}}{1 + j\xi_{\text{აშ}}} \quad (2.12)$$

აქედან გამომდინარეობს შესაბამისად რეზონანსული გამაძლიერებლის პსმ და პსმ:

$$|K(j\omega)| = \frac{SR_{\text{რებ.აშ}}}{\sqrt{1 + 4Q_{\text{აშ}}^2(\omega - \omega_{\text{რებ}})^2 / \omega_{\text{რებ}}^2}}, \quad (2.13)$$

$$\varphi_k(\omega) = \pi - \arctg[2Q_{\text{კა}}(\omega - \omega_{\text{რე}})/\omega_{\text{რე}}]. \quad (2.14)$$

**მაგალითი 2.2.** გამაძლიერებულს, რომელიც აწყობილია ნახ. 8.6 სქემის მიხედვით, აქებ შემდგვი პარამეტრები:  $f_{\text{რე}} = 28$  მჟღ,  $Q = 95$ ,

$\rho = 430$  ომ,  $k_{\text{ჩარ}} = 0.6$ ,  $S = 20$  მა/ვ,  $R_i = 15$  კომ. განსაზღვრები გაძლიერების კოეფიციენტის მოდული რეზონანსულ სიხშირეზე და გამაძლიერებლის გატარების ზოლი.

რხევითი სიხშირების რეზონანსული წინაღობა

$$R_{\text{რე}} = k_{\text{ჩარ}}^2 \rho Q = 0.36 \cdot 0.43 \cdot 95 = 14,71 \text{ კომ.}$$

კონტურის გეგვივალენტური წინაღობა რეზონანსის დროს ტრანზისტორის მაშვიტირებელი მოტევების გათვალისწინებით

$$R_{\text{რე},\text{კა}} = 14,71 / (1 + 14.71 / 15) = 7.43 \text{ კომ.}$$

გამაძლიერებლის აწყობისას რეზონანსზე ამიტომ (2.12)-დან გამომდინარეობს, რომ გაძლიერების რეზონანსული კოეფიციენტი

$$K_{\text{რე}} = SK_{\text{რე},\text{კა}} = 20 \cdot 7.43 = 148.6,$$

ან ლოგარითმულ ერთეულებში

$$\Delta_{\text{რე}} = 20 \lg K_{\text{რე}} = 43 \text{ ღბ}$$

გამაძლიერებლის გატარების ზოლი 0,707 დონეზე კაზღვრავთ ფორმულით (2.6):

$$\Delta_{0.707} = f_{\text{რე}} (1 + \frac{R_{\text{რე}}}{R_i}) / Q = 0.58 \text{ მჟღ.}$$

#### 8.4. მრავალკონტურიანი სისშირულად-გამორჩევადი სისტემები

ზემოთგანხილულ ერთკონტურიან წილროზოლოვან წრედებს აქვთ მნიშვნელოვანი ნაკლი – მცირე სიხშირული არჩევითობა. ეს თვისება მედავნდება იმაში, რომ გატარების ზოლის საზღვრებს გარეთ ასეთი წრედების ასმ მიისწავის ნულისაკენ არასაკმარისად სწრაფად. ამიტომ გამოსახვლელი რხევა შეიცავს არა მარტო სასარგებლო სიგნალს, რომლის სპექტრი განლაგებულია ასმის მაქსიმუმის სიახლოეს, არამედ სპექტრიანი ხელშემშლელი სიგნალების, ხმაურის და ა.შ. რაღაც, ზოგჯერ მნიშვნელოვან წილს, რომელთა სპექტრი ძევს საკმაოდ დაშორებით იმ სიხშირიდან, რომელზედაც აწყობილია ფილტრი.

მივისწრავით რა იმისაკენ, რომ ავამაღლოთ ფილტრების სიხშირული არჩევითობა, მივდივარო მრავალკონტურიან მოწყობილობებამდე, რომლებშიც ხერხდება მივიღოთ ასმის ფორმა, იდეალურთან (მართკუთხასთან) მიახლოებული.

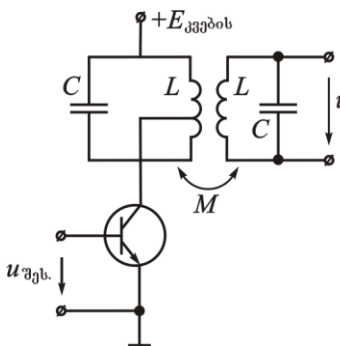
**თავი II. დეტარმინირებული სიზნალების ზემოქმედება  
სისტემულად-გამორჩევად სისტემებზე**

უმარტივეს მრავალკონტურიან სისტერულ-გამორჩევად ფილტრს წარმოადგენს ორი დაკავშირებული რხევითი კონტურის სისტემა. ასეთი მოწყობილობის მუშაობის პრინციპი შეისწავლება წრედების თეორიაში.

ნახ. 8.8 -ზე გამოსახულია მცირე რხევების რეზონანსული გამაძლიერებლის პრინციპიალური სქემა დაკავშირებული კონტურებით, რომლის დატვირთვას წარმოადგენს ორი ერთნაირი ინდუქციურად დაკავშირებული კონტურის სისტემა.

ამ სისტემის პარამეტრებია გავშირის კოეფიციენტი  $k_d = \frac{M}{L}$  და ეგრეთწოდებული კაგშირის ფაქტორი  $A = k_d Q$ . გადაცემის სისტერული კოეფიციენტის მოდული გამოითვლება ფორმულით

$$|K(j\xi)| = \frac{k_{\text{ჩარ}} ASR_{\text{რეზონ}}}{\sqrt{(1+A^2-\xi^2)^2 + 4\xi^2}}. \quad (2.15)$$



ნახ. 8.8

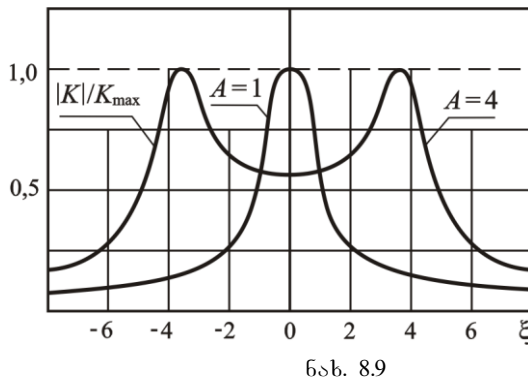
**პარ-ის გრაფიკები,** აგებული (2.15) გამოსახულების შესაბამისად, გამოსახულია ნახ. 8.9 -ზე კაგშირის სხვადასხვა  $A$  ფაქტორებისას. ავტოშენოთ, რომ  $\omega_j > 1$ , მაშინ რეზონანსულ მრუდს გატარების ზოლში აქვს ჩავარდნა, რომლის სიღრმე იზრდება კაგშირის ფაქტორის გაზრდით.

შეიძლება შეიქმნას საკმაოდ სრულყოფილი სისტერულადგამორჩევადი მოწყობილობები ერთმანეთთან დაკავშირებული რხევითი სისტემების ფილტრების გამოყენებით.

\* ერთ- და ორკონტურიანი გამაძლიერებლების **პარ-ის შედარებით შეიძლება** შევამნიოთ, რომ რხევითი სისტემების ტოლი გარგისიანობისას ორკონტურიან გამაძლიერებელს აქვს რეზონანსული მრუდის დაქანების მეტი ციცაბოვნება, ე.ი. შეუძლია უზრუნველყოს მეტი სისტერული არჩევითობა

უკანასკნელ ხანს რადიოტექნიკაში დაიწყეს გავრცელება სისტერულად-გამორჩევადმა ფილტრებმა, აგებულმა ახალ სქემოტექნიკურ პრინციპებზე – ეგრეთწოდებული აქტიური ფილტრები (იხ.თავი 14). დიდი წარმატებებია მიღწეული სისტერული ფილტრების კონსტრუირების სფეროში, რომელთა მუშაობა

დაფუძნებულია მყარ სხეულებში ჟღვრაბგერითი ტალღების გამოყენებაზე. რადიოტექნიკის ახალი სფერო, რომელმაც შიიღო აკუსტოელექტრონიკის სახელწოდება, გვიქადის მინიატურული და სამედო სისშირულ-გამორჩევი სისტემების მომხიბვლელ პერსპექტივებს.



ნახ. 8.9